

УДК 678.06:621.64

## **Численно-аналитический метод расчета металлокомпозитного цилиндрического баллона давления**

**Егоров А.В.\* , Азаров А.В.**

*Московский государственный технический университет им. Н.Э. Баумана,  
ул. 2-я Бауманская, 5, Москва, 105005, Россия*

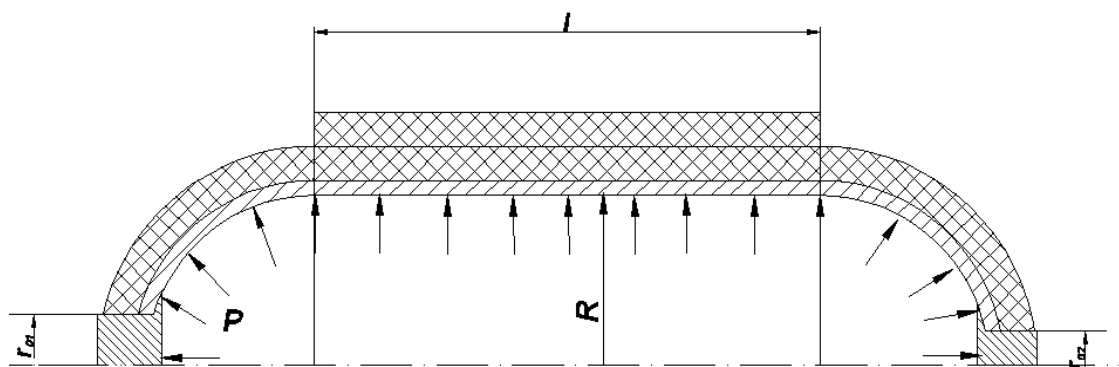
*\*e-mail: [antegor177@mail.ru](mailto:antegor177@mail.ru)*

### **Аннотация**

Предложен численно-аналитический метод расчёта цилиндрической части металлокомпозитного баллона высокого давления с учётом нелинейной диаграммы деформирования металлической внутренней оболочки – лайнера. Решение задачи в рассматриваемой постановке основано на применении метода последовательных нагружений и модели идеального упругопластического лайнера на каждом шаге нагружения. Многослойная композитная оболочка считается ортотропной линейно-упругой. Для диаграммы деформирования лайнера построена аналитическая аппроксимирующая функция, что даёт возможность автоматизировать вычисления. Алгоритм расчёта реализован в программе MatLAB. Проведённые численные исследования показали, что точность результатов повышается с увеличением числа шагов нагружения, при этом напряжения и деформации в лайнере снижаются асимптотически.

**Ключевые слова:** металлокомпозитный баллон давления, расчёт, напряжённопластическое состояние, лайнер, нелинейная диаграмма деформирования.

Металлокомпозитные баллоны высокого давления (МКБВД) применяются в ракетно-космической технике для хранения инертных газов. Газонепроницаемость обеспечивает внутренняя металлическая оболочка – лейнер (рис. 1), а прочность – наружная композитная оболочка и частично лейнер. При нагружении МК БВД предельным давлением ~80 МПа упруго деформируется композитная оболочка, а в лейнере возникают пластические деформации, которые следует учитывать в расчетах баллонов [1].



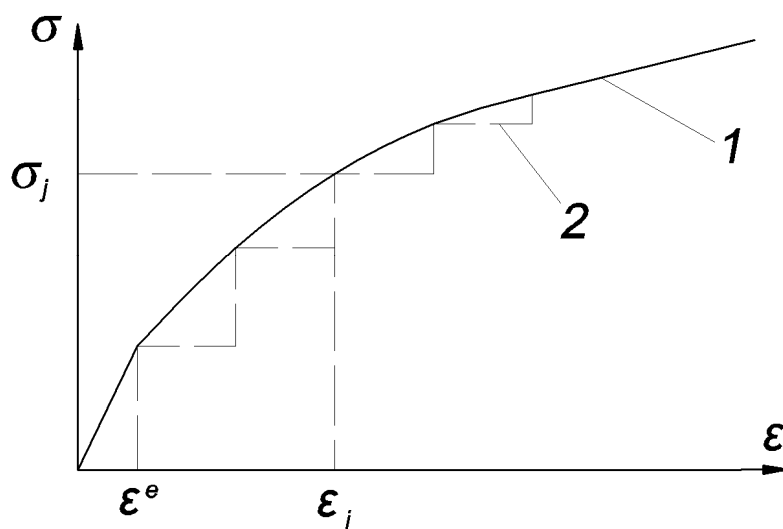
**Рис. 1. Конструктивная схема МК БВД**

В данной работе предлагается численно-аналитический метод расчета МКБВД с использованием реальной диаграммы деформирования материала лейнера.

Алгоритм построен на основе метода последовательных нагружений и решения задачи деформирования баллона с линейно-упругой композитной оболочкой и с идеально пластическим лейнером на каждом шаге нагружения.

Модель «кусочно-пластического» деформирования лейнера получается путем замены гладкой непрерывной функции нормальных напряжений  $\sigma$  от линейных деформаций  $\varepsilon$ , т.е.  $\sigma = \sigma(\varepsilon)$  экспериментально найденной диаграммы растяжения

$\sigma - \varepsilon$  (рис. 2) на ступенчатую функцию с числом ступеней, равным числу шагов нагружения баллона.



**Рис. 2. Экспериментальная диаграмма деформирования лайнера (1) и заменяющая её ступенчатая функция (2)**

На каждой ступени найденной функции, текущей деформации  $\varepsilon_j$  лайнера соответствует напряжение  $\sigma_j$ , которое принимают за напряжение «шаговой площадки текучести». Поскольку число шагов нагружения может варьироваться, ступенчатая зависимость  $\sigma_j = \sigma_j(\varepsilon_j)$  также будет изменяться. Для того чтобы расчет баллона не зависел от числа шагов нагружения, предложено найти аналитическую функцию  $\sigma = \sigma(\varepsilon)$  на основе реальной диаграммы деформирования материала и по ней устанавливать связь  $\sigma_j = \sigma_j(\varepsilon_j)$ .

Аппроксимация диаграммы проведена по программе MATLAB, инструмент Curvefitting. В качестве аппроксимирующей функции выбран полином шестой степени

$$\sigma = \sum_{k=0}^6 a_k \varepsilon^k.$$

Коэффициенты  $a_k$  находим из экспериментальной диаграммы  $\sigma - \varepsilon$  (см. рис. 2), по которой выбранным значениям деформаций  $\varepsilon_k$  устанавливаем соответствующие значения напряжений  $\sigma_k$ , т.е. для  $\varepsilon = \varepsilon_k \rightarrow \sigma = \sigma_k, k = 0, 1, \dots, 6$ . Например, для сплава АМг-6 получена следующая аналитическая зависимость нелинейной части экспериментальной диаграммы деформирования:

$$\sigma = 165,7 + 5666 \cdot \varepsilon - 1,079 \cdot 10^5 \cdot \varepsilon^2 + 1,435 \cdot 10^6 \cdot \varepsilon^3 - 1,046 \cdot 10^7 \cdot \varepsilon^4 + 3,827 \cdot 10^7 \cdot \varepsilon^5 - 5,529 \cdot 10^7 \cdot \varepsilon^6. \quad (1)$$

Рассмотрим деформирование цилиндрической части МК БВД при нагружении его внутренним давлением (рис. 3). Модель строим на основе следующих допущений:

1 внутренняя металлическая оболочка (лейнер) и наружная композитная оболочка неразрывно связаны на поверхности контакта;

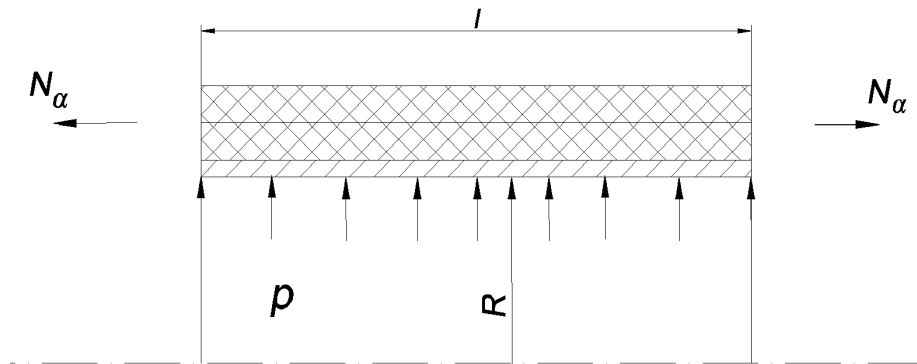
2 металлический лейнер имеет ступенчатую диаграмму деформирования (см. рис. 2);

3 считаем, что композитная оболочка линейно-упругая;

4 композитная оболочка является многослойной, собранной из спиральных и кольцевых слоев;

5 для оболочек применяется безмоментная теория;

нагружение — внутреннее давление — растет ступенчато (пошагово).



**Рис. 3. Нагружение цилиндрической части МК БВД**

Разрешающие уравнения записываем для двух расчетных схем:

- 1) композитная оболочка и лейнер – линейно-упругие;
- 2) композитная оболочка – линейно-упругая, лейнер – идеальнопластический

на каждом шаге (ступени) нагружения.

**Расчетная схема 1.** *Композитная оболочка и лейнер – линейно-упругие.* Из уравнений равновесия элемента двухслойной цилиндрической оболочки получаем:

$$N_{\alpha} = \frac{pR}{2}; \quad N_{\beta} = pR. \quad (2)$$

Находим суммарные меридиональные ( $N_{\alpha}$ ) и кольцевые ( $N_{\beta}$ ) усилия (рис. 4), которые можно представить в виде

$$N_{\alpha} = N_{\alpha}^M + N_{\alpha}^K; \quad N_{\beta} = N_{\beta}^M + N_{\beta}^K, \quad (3)$$

где  $N_{\alpha}^M, N_{\beta}^M$  и  $N_{\alpha}^K, N_{\beta}^K$  — усилия в металлическом лейнере (м) и композитной оболочке (к).

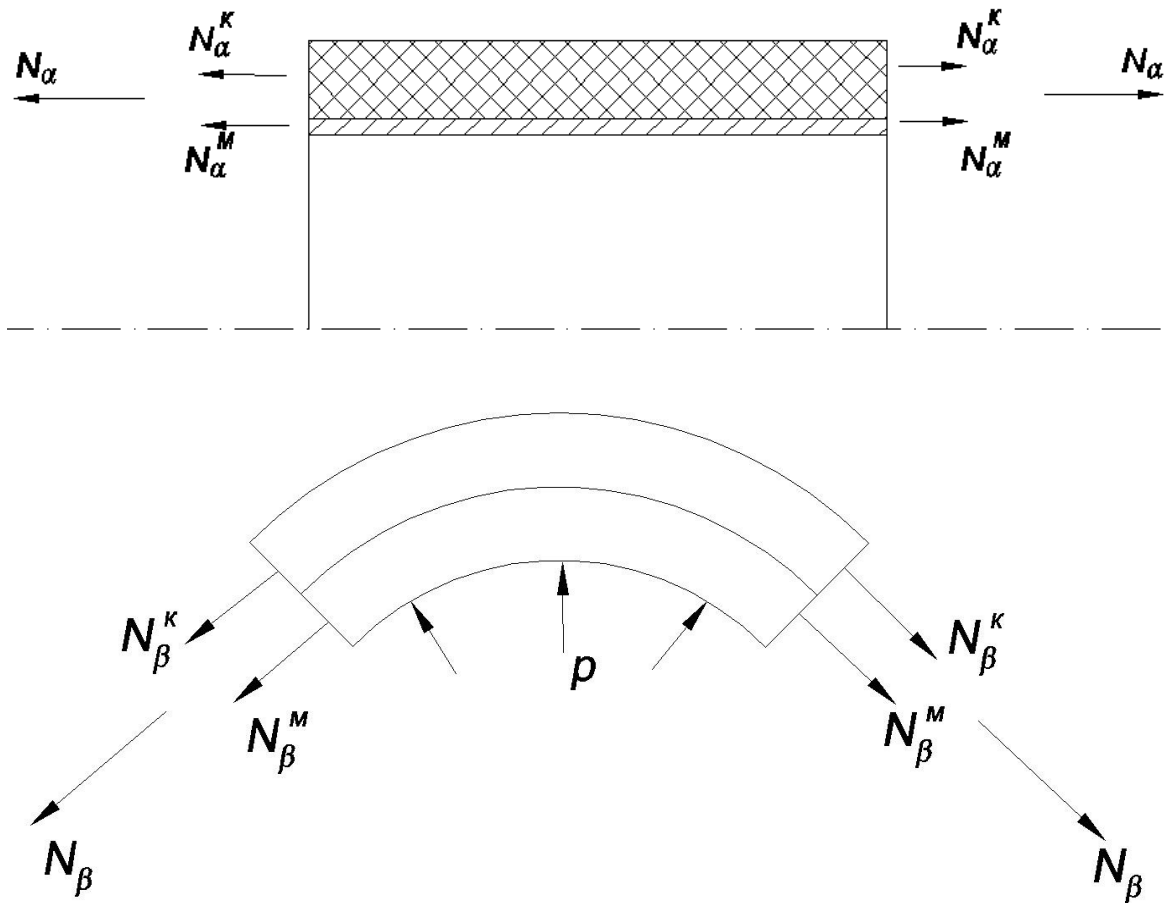


Рис. 4. Продольные и кольцевые усилия

Для металлического лайнера с учетом допущения 5 получаем выражения для усилий на каждом шаге нагружения:

$$N_{\alpha}^M = \sigma_{\alpha} h_m; \quad N_{\beta}^M = \sigma_{\beta} h_m, \quad (4)$$

где  $h_m$  — толщина лайнера.

Принимая во внимание закон Гука для изотропного тела

$$\varepsilon_{\alpha} = \frac{1}{E} (\sigma_{\alpha} - \nu \sigma_{\beta}); \quad \varepsilon_{\beta} = \frac{1}{E} (\sigma_{\beta} - \nu \sigma_{\alpha}) \quad (5)$$

или в обратной форме

$$\sigma_{\alpha} = \bar{E} (\varepsilon_{\alpha} + \nu \varepsilon_{\beta}); \quad \sigma_{\beta} = \bar{E} (\varepsilon_{\beta} + \nu \varepsilon_{\alpha}), \quad (6)$$

где  $\bar{E} = \frac{E}{1-\nu^2}$ ,

определяем усилия в металлическом лейнере:

$$N_{\alpha}^M = \bar{E} h_M (\epsilon_{\alpha} + \nu \epsilon_{\beta}); \quad N_{\beta}^M = \bar{E} h_M (\epsilon_{\beta} + \nu \epsilon_{\alpha}). \quad (7)$$

Для композитной оболочки с учетом допущений 4 и 5 связь усилий  $N_{\alpha}^K$  и  $N_{\beta}^K$  с меридиональными ( $\epsilon_{\alpha}$ ) и кольцевыми ( $\epsilon_{\beta}$ ) деформациями на основе обобщенного закона Гука имеет вид [2]:

$$N_{\alpha}^K = B_{11}^K \epsilon_{\alpha} + B_{12}^K \epsilon_{\beta}; \quad N_{\beta}^K = B_{12}^K \epsilon_{\alpha} + B_{22}^K \epsilon_{\beta}, \quad (8)$$

где коэффициенты жесткости

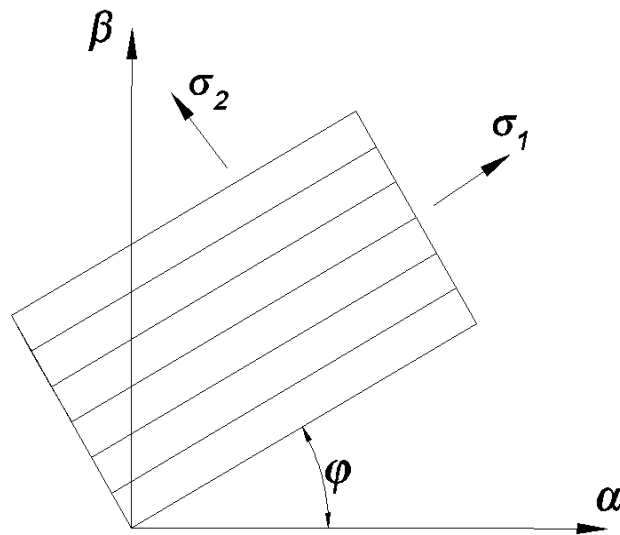
$$B_{11}^K = \sum_{i=1}^n h_i (\bar{E}_1 \cos^4 \varphi_i + \bar{E}_2 \sin^4 \varphi_i + 2E_{12} \sin^2 \varphi_i \cos^2 \varphi_i);$$

$$B_{12}^K = \sum_{i=1}^n h_i [\bar{E}_1 \nu_{12} + (\bar{E}_1 + \bar{E}_2 - 2E_{12}) \sin^2 \varphi_i \cos^2 \varphi_i];$$

$$B_{22}^K = \sum_{i=1}^n h_i (\bar{E}_1 \sin^4 \varphi_i + \bar{E}_2 \cos^4 \varphi_i + 2E_{12} \sin^2 \varphi_i \cos^2 \varphi_i).$$

Здесь  $\bar{E}_1 = \frac{E_1}{1-\nu_{12}\nu_{21}}$ ,  $\bar{E}_2 = \frac{E_2}{1-\nu_{12}\nu_{21}}$ ,  $E_1\nu_{12} = E_2\nu_{21}$ ,  $E_{12} = \bar{E}_1\nu_{12} + 2G_{12}$ ;  $n$  – число

слоев;  $h_i$  и  $\varphi_i$  – соответственно толщина и угол армирования слоя с номером  $i = 1, 2, 3, \dots, n$ . Индекс 1 соответствует направлению вдоль волокон монослоя, индекс 2 – поперечному направлению (рис. 5).



**Рис. 5. Напряжения в монослое**

При подстановке формул (7) и (8) в уравнение (3) получаем:

$$N_{\alpha} = B_{11}^e \varepsilon_{\alpha} + B_{12}^e \varepsilon_{\beta}; \quad N_{\beta} = B_{12}^e \varepsilon_{\alpha} + B_{22}^e \varepsilon_{\beta}, \quad (9)$$

где коэффициенты жесткости

$$B_{11}^e = \bar{E}h_M + B_{11}^K;$$

$$B_{12}^e = \nu \bar{E}h_M + B_{12}^K;$$

$$B_{22}^e = \bar{E}h_M + B_{22}^K.$$

Совместно решая уравнения (9), определяем деформации  $\varepsilon_{\alpha}^e$  и  $\varepsilon_{\beta}^e$  на поверхности контакта композитной оболочки и лайнера:

$$\varepsilon_{\alpha}^e = \frac{1}{B_{\beta}^e} (B_{22}^e N_{\alpha} - B_{12}^e N_{\beta}); \quad (10)$$

$$\varepsilon_{\beta}^e = \frac{1}{B_{\alpha}^e} (B_{11}^e N_{\beta} - B_{12}^e N_{\alpha}),$$



где  $B_e = B_{11}^e B_{22}^e - (B_{12}^e)^2$ .

Согласно (6), упругие напряжения в лейнере

$$\sigma_\alpha^e = \bar{E}(\epsilon_\alpha^e + \nu\epsilon_\beta^e); \quad \sigma_\beta^e = \bar{E}(\epsilon_\beta^e + \nu\epsilon_\alpha^e). \quad (11)$$

Для радиальных нормальных напряжений в лейнере принимаем  $\sigma_r^e = p$ .

Найдем интенсивность напряжений в лейнере [3]:

$$\sigma_i = \frac{\sqrt{2}}{2} \sqrt{(\sigma_\alpha^e - \sigma_\beta^e)^2 + (\sigma_\beta^e - \sigma_r^e)^2 + (\sigma_r^e - \sigma_\alpha^e)^2}. \quad (12)$$

Для определения давления в БВД  $p = p_T$ , при котором материал лейнера переходит из упругого деформирования в пластическое, воспользуемся условием пластичности Мизеса [4]:

$$\sigma_i \leq \sigma_T, \quad (13)$$

где  $\sigma_T$  – предел текучести материала лейнера.

При давлении  $p_T$  в МК БВД отыскиваем деформации  $\epsilon_\alpha^e$  и  $\epsilon_\beta^e$ , согласно (10), и напряжения  $\sigma_\alpha^e$  и  $\sigma_\beta^e$ , согласно (11), в лейнере, когда он переходит в состояние пластичности.

**Расчетная схема 2.** *Композитная оболочка – линейно-упругая, лейнер – идеальнопластический на каждом шаге нагружения.* Поскольку при нагружении МК БВД по расчетной схеме 2 давление  $p > p_T$ , то лейнер находится в состоянии пластичности. Однако согласно допущению 2, лейнер является идеально пластическим, поэтому для него на каждом шаге нагружения можем принять:

$$N_\alpha^M = \sigma_T h_M; \quad N_\beta^M = \sigma_T h_M. \quad (14)$$

где под  $\sigma_T$  понимаются напряжения  $\sigma_j$  (рис. 2) на «ступенях» диаграммы.

Уравнения (9) совместного деформирования композитной оболочки и лайнера тогда принимают вид:

$$N_\alpha = B_{11}^e \varepsilon_\alpha + B_{12}^p \varepsilon_\beta; \quad N_\beta = B_{12}^p \varepsilon_\alpha + B_{22}^p \varepsilon_\beta, \quad (15)$$

где коэффициенты жесткости

$$B_{11}^p = \sigma_T h_m + B_{11}^k; \quad B_{12}^p = \frac{1}{2} \sigma_T h_m + B_{12}^k; \quad B_{22}^p = \sigma_T h_m + B_{22}^k.$$

Согласно уравнениям (10), находим деформации  $\varepsilon_\alpha^p$  и  $\varepsilon_\beta^p$  с учетом пластичности лайнера:

$$\varepsilon_\alpha^p = \frac{1}{B_p} (B_{22}^p N_\alpha - B_{12}^p N_\beta); \quad \varepsilon_\beta^p = \frac{1}{B_p} (B_{11}^p N_\beta - B_{12}^p N_\alpha), \quad (16)$$

где  $B_p = B_{11}^p B_{22}^p - (B_{12}^p)^2$ .

Представим далее порядок расчёта МК БВД с нелинейной диаграммой деформирования лайнера по полученным выше уравнениям. В расчётной схеме 1, методом последовательных нагружений, находим упругие деформации  $\varepsilon_\alpha^e$  и  $\varepsilon_\beta^e$ , которые будем использовать на первом шаге нагружения в задаче пластичности (расчётная схема 2).

На первом шаге нагружения задаём напряжение текучести  $\sigma_T$  в лайнере и по уравнениям расчётной схемы 2 определяем деформации в лайнере:

при давлении  $p_T$  – деформации  $\varepsilon_{\alpha(0)}^p$  и  $\varepsilon_{\beta(0)}^p$ ;

при давлении  $p_T + \Delta p$  – деформации  $\varepsilon_{\alpha(1)}^p$  и  $\varepsilon_{\beta(1)}^p$ .

Здесь и далее  $\Delta p$  – выбранное приращение давления на текущем шаге нагружения.

Вычисляем приращения деформаций:

$$\Delta \varepsilon_{\alpha(1)} = \varepsilon_{\alpha(1)}^p - \varepsilon_{\alpha(0)}^p; \Delta \varepsilon_{\beta(1)} = \varepsilon_{\beta(1)}^p - \varepsilon_{\beta(0)}^p. \quad (17)$$

Полные деформации в лейнере при  $p = p_T + \Delta p$  будут:

$$\varepsilon_{\alpha(1)} = \varepsilon_{\alpha}^e + \Delta \varepsilon_{\alpha(1)}; \varepsilon_{\beta(1)} = \varepsilon_{\beta}^e + \Delta \varepsilon_{\beta(1)}. \quad (18)$$

Радиальные деформации  $\varepsilon_{r(1)}$  из условия несжимаемости будут:

$$\varepsilon_{r(1)} = -(\varepsilon_{\alpha(1)} + \varepsilon_{\beta(1)}). \quad (19)$$

Определяем интенсивность деформаций

$$\varepsilon_{i(1)} = \frac{\sqrt{2}}{2(1+\nu)} \times \sqrt{(\varepsilon_{\alpha(1)} - \varepsilon_{\beta(1)})^2 + (\varepsilon_{\beta(1)} - \varepsilon_{r(1)})^2 + (\varepsilon_{r(1)} - \varepsilon_{\alpha(1)})^2}. \quad (20)$$

По формуле (1) для данной  $\varepsilon_{i(1)}$  рассчитаем  $\sigma_{i(1)}$ , которое будет использоваться при последующих нагружениях.

Учёт пластичности лейнера на втором и последующих шагах нагружения будем производить по расчётной схеме 2, для чего сформируем систему рекуррентных соотношений.

На  $j$ -м шаге нагружения давление внутри баллона будет:

$$p_j = p_T + j \Delta p, \quad (21)$$

где  $p_T$  – давление, при котором лейнер переходит из упругого деформирования в нелинейное (пластическое).

Для лейнера принимаем

$$\sigma_T = \sigma_{T(j-1)}.$$

По уравнениям (14)—(16) находим  $\varepsilon_{\alpha(j)}^p$  и  $\varepsilon_{\beta(j)}^p$ .

При том же значении  $\sigma_{T(j-1)}$  определяем по уравнениям (14)—(16)  $\varepsilon_{\alpha(j-1)}^p$  и  $\varepsilon_{\beta(j-1)}^p$ , соответствующие давлению  $p_{(j-1)}$ .

Приращения деформаций будут:

$$\Delta\varepsilon_{\alpha(j)} = \varepsilon_{\alpha(j)}^p - \varepsilon_{\alpha(j-1)}^p; \Delta\varepsilon_{\beta(j)} = \varepsilon_{\beta(j)}^p - \varepsilon_{\beta(j-1)}^p. \quad (22)$$

Окончательно, деформации в лейнере на  $j$ -м шаге нагружения баллона будут:

$$\varepsilon_{\alpha(j)} = \varepsilon_{\alpha(j-1)} + \Delta\varepsilon_{\alpha(j)}; \varepsilon_{\beta(j)} = \varepsilon_{\beta(j-1)} + \Delta\varepsilon_{\beta(j)}. \quad (23)$$

Из условия несжимаемости находим

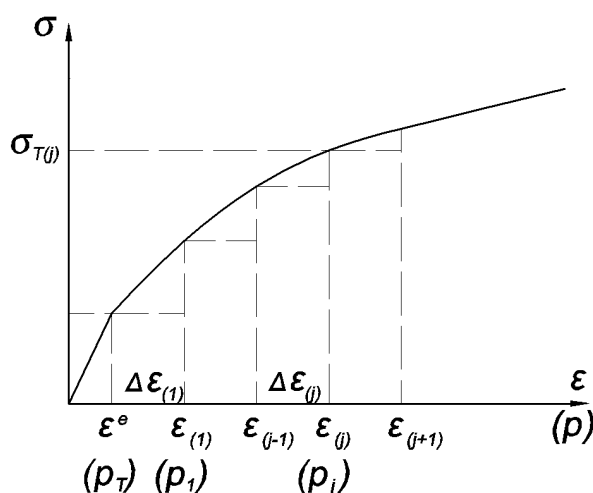
$$\varepsilon_{r(j)} = -(\varepsilon_{\alpha(j)} + \varepsilon_{\beta(j)}). \quad (24)$$

Вычисляем интенсивность деформаций в лейнере по формуле

$$\varepsilon_{i(j)} = \frac{\sqrt{2}}{2(1+\nu)} \times \sqrt{(\varepsilon_{\alpha(j)} - \varepsilon_{\beta(j)})^2 + (\varepsilon_{\beta(j)} - \varepsilon_{r(j)})^2 + (\varepsilon_{r(j)} - \varepsilon_{\alpha(j)})^2}. \quad (25)$$

По диаграмме деформирования лейнера с учётом уравнения (1) для данной  $\varepsilon_{i(j)}$  находим  $\sigma_{T(j)}$  (рис. 6).

Затем порядок расчётов повторяется.



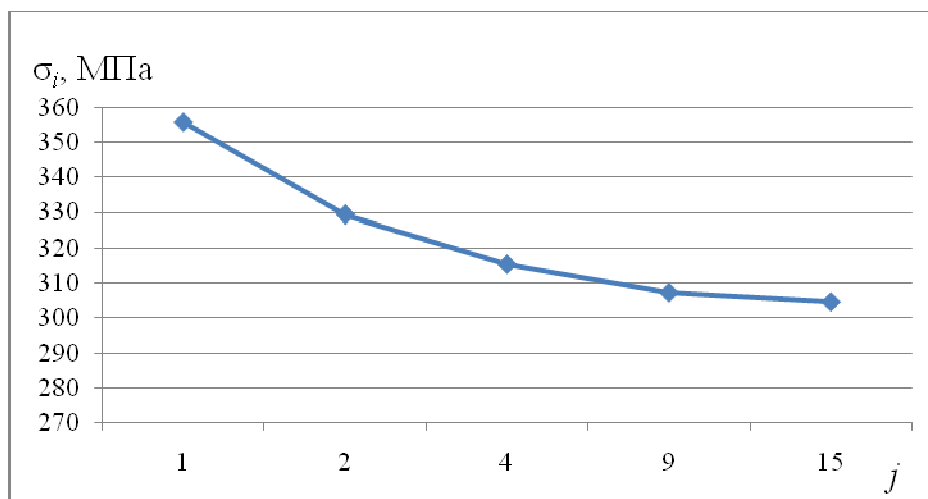
**Рис. 6.** Аппроксимирующая функция диаграммы деформирования с приращением деформаций  $\Delta\varepsilon_{(j)}$  в соответствии с давлением  $p_j$

В качестве примера рассмотрим нагружение МК БВД внутренним давлением  $p = 78 \text{ МПа}$ . Пусть баллон изготовлен из алюминиевого лайнера, сплав АМг-6, и углепластиковой оболочки со спиральными и кольцевыми слоями. Толщина лайнера 2,2 мм, суммарная толщина цилиндрической части баллона — 14,7 мм.

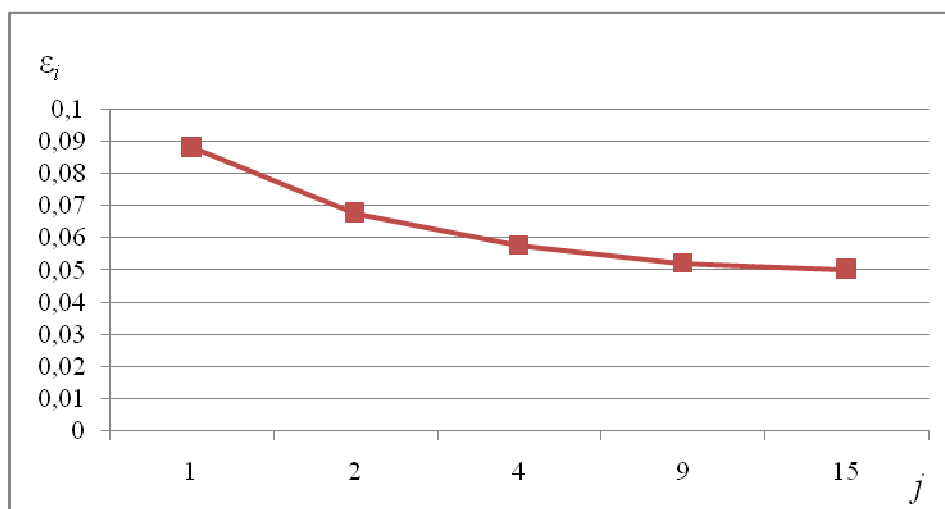
Исследуем зависимость расчётных деформаций лайнера от числа шагов нагружения.

При одном шаге нагружения ( $j=2$ ) в зоне нелинейности, имеем модель идеального упругопластического деформирования лайнера. При двух ( $j=2-3$ ) и более шагах нагружения предложенная модель ступенчато-пластического деформирования лайнера приближается к реальной диаграмме деформирования материала лайнера.

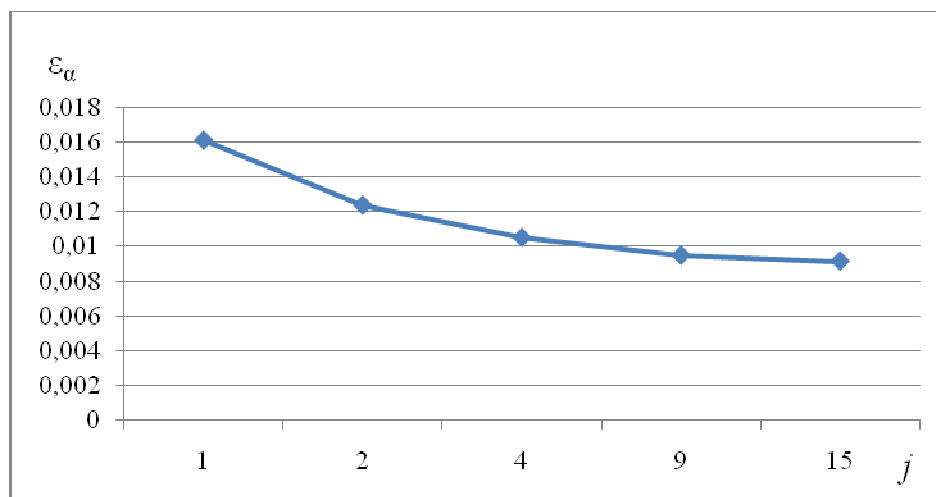
Изменение деформаций и напряжений в лайнере в зависимости от числа шагов нагружения показано на рис. 7–10. На них видно, что с ростом числа шагов нагружения от 1 до 15, при одном и том же давлении  $p = 78 \text{ МПа}$ , за счёт физической нелинейности материала лайнера происходит снижение деформаций и напряжений в лайнере. Снижение деформаций составляет 40 %, снижение напряжений — 12 %. При числе шагов  $>15$  напряжения и деформации практически не изменяются.



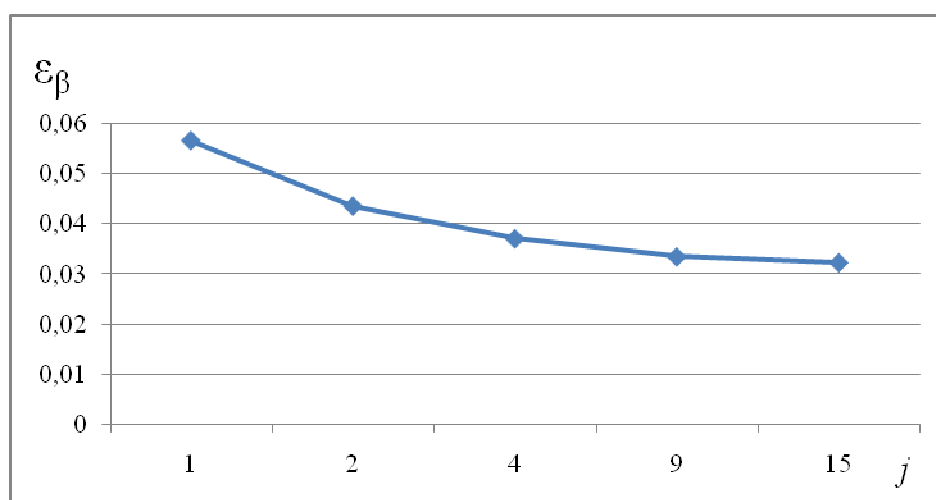
**Рис. 7. Изменение интенсивности напряжений в лейнере при увеличении числа шагов нагружения**



**Рис. 8. Изменение интенсивности деформаций в лейнере при увеличении числа шагов нагружения**



**Рис. 9. Изменение продольных деформаций в лейнере при увеличении числа шагов нагружения**



**Рис. 10. Изменение окружных деформаций в лейнере при увеличении числа шагов нагружения**

### Выводы

1. Предложенный численно-аналитический метод расчёта металлокомпозитных баллонов высокого давления с учётом физической

нелинейности материала лейнера удобен для программирования и эффективен в проектировочных расчётах.

2. Приближение расчётов МК БВД к реальной диаграмме деформирования лейнера существенно сказывается на полученных значениях деформаций и напряжений.

3. Увеличение числа шагов нагружения МК БВД для заданного давления приводит к снижению деформаций и напряжений в лейнере.

4. Построение функции, аппроксимирующей диаграмму деформирования материала лейнера, позволило автоматизировать расчёт МК БВД.

#### **Библиографический список**

1. Анализ конструктивных вариантов металлокомпозитных баллонов высокого давления / В.П. Молочев, В.Н. Егоров, А.В. Севальнев, Е.А. Абрамова // Авиационная промышленность. – 2012. – № 1. – С. 42-45.
2. Васильев В.В. Механика конструкций из композиционных материалов. – М.: Машиностроение, 1978. – 272 с.
3. Феодосьев В.И. Сопротивление материалов: учеб. для втузов. – 9-е изд., перераб. – М.: Наука, Гл. ред. физ.-мат. лит-ры, 1986. – 512 с.
4. Строительная механика летательных аппаратов: учеб. для авиационных спец. вузов / И.Ф. Образцов, Л.А. Булычев, В.В. Васильев и др.; под ред. И.Ф. Образцова. – М.: Машиностроение, 1986. – 536 с.